

И Н С Т И Т У Т
ЯДЕРНОЙ ФИЗИКИ СОАН СССР

И Я Ф 27 - 71

В.С.Григорьев, Г.М.Протопопова, В.С.Сынах

ИССЛЕДОВАНИЕ ВОЗМОЖНОСТЕЙ ПРИМЕНЕНИЯ
ФОТОГРАФИЧЕСКОГО МЕТОДА ДЛЯ ДОЗИМЕТРИИ
ДЛИННОВОЛНОВОГО РЕНТГЕНОВСКОГО ИЗЛУЧЕНИЯ

Новосибирск

1971

В.С.Григорьев, Г.М.Протопопова, В.С.Сынах

ИССЛЕДОВАНИЕ ВОЗМОЖНОСТЕЙ ПРИМЕНЕНИЯ ФОТОГРАФИЧЕСКОГО МЕТОДА ДЛЯ ДОЗИМЕТРИИ ДЛИННОВОЛНОВОГО РЕНТГЕНОВСКОГО ИЗЛУЧЕНИЯ

в сложности и трудоемкости расчетов при таких же измерениях. Поэтому в дальнейшем можно обратить внимание на то, что для определения эффективной концентрации излучения

А Н Н О Т А Ц И Я

В работе предлагается новый тип фотодозиметра, который

рекомендуется применять для проведения дозиметрического

контроля в диапазоне энергий квантов 10-1250 кэв и доз от

5-100 мр до 100-1800 р, на основе отечественных пленок типа РМ-5-1, КН-1 и А-2 (дубль-негативная). Приведенные данные

по дозовым факторам накопления и спектральному распределению

излучений низких энергий могут быть использованы для расчетов защиты и других целей прикладной дозиметрии.

При этом для определения коэффициента накопления излучения бромистого серебра в воздухе соответствующими поправками на флуоресценцию: F_1 - поправка на поправка, учитывающая излучение алюминия в импульсе; F_2 - поправка на потерю энергии электронов в веществе, F_3 - поправка на коррекцию импульсной энергии электронов, выбитых из узловки.

Так как Д.Гриффин не приводит данных о расчетах для излучений менее 27.6 кэв, то были предварительно рассчитаны характеристики электронов в импульсе в подложке, ширгетической пленке и алюминии различных групп. Средняя энергия электронов отдавалась по формуле:

$E = \text{сумма поправок} \times \text{значение первичного излучения}$
делить сочили среднюю

Фотографическая дозиметрия длинноволнового рентгеновского излучения имеет ряд преимуществ по сравнению с другими методами. Чувствительность рентгеновских пленок в этой области энергий 3-5 мр, фильтры - поглотители позволяют оценивать эффективную энергию излучения, что необходимо для определения поглощенной дозы. Недостатки метода состоят в сложности и трудоёмкости обработки результатов измерений. Недостаток дозиметрической пленки - большой ход с жесткостью, можно обратить в её достоинство, если использовать его для определения эффективной энергии излучения.

§ 1. Теоретический расчёт и сравнение с экспериментальными данными хода с жесткостью дозиметрической пленки РМ-5-1.

Рассмотрим зависимость почернения пленки РМ-5-1 от энергии квантов рентгеновского излучения при постоянной дозе. Для этого используем формулу, предложенную Гринингом /1/

$$\frac{E_{AgBr}, \text{ эр}^2/2}{E_{Br}, \text{ эр}^2/2} = \frac{\mu_{1a}/\rho_1}{\mu_{2a}/\rho_2} F_1 F_2 F_3 + F_4$$

где, - E_{AgBr} , E_{Br} - энергия рентгеновского или гамма-излучения, поглощенная граммом бромистого серебра и воздуха - соответственно; μ_{1a}/ρ_1 , μ_{2a}/ρ_2 - массовые коэффициенты поглощения бромистого серебра и воздуха соответственно; F_1 - поправка на флуоресценцию; F_2 - поправка, учитывающая энергию электронов, вышедших из эмульсии; F_3 - поправка на потерю энергии электронов в желатине; F_4 - поправка на поглощение эмульсией энергии электронов, выбитых из упаковки.

Так как Д.Грининг не приводит данных о расчётах для энергий менее 27,6 кэв, то были предварительно рассчитаны пребеги электронов в эмульсии и подложке, энергетический вклад электронов различных групп. Средняя энергия электронов отдачи рассчитывалась по формуле:

$$\bar{E} = \frac{\text{сечение поглощения} \times \text{энергию первичного кванта}}{\text{полное сечение рассеяния}}$$

$$S_i = K D_i e^{-\mu_{el} B_i (E, \mu_{el}) / (E, \mu_{el})}, \quad (2)$$

Данные по сечениям взяты из работы Б.Прайса с соавторами /2/. Выход ω_L - флуоресценции серебра и брома рассчитывался по формуле /3/

$$\left(\frac{\omega_L}{1-\omega_L}\right)^{1/4} = A + Bz,$$

где $A = 0,132$; $B = 0,00917$.

Количество бромистого серебра, желатины и подложки, приходящееся на cm^2 для дозиметрической пленки РМ-5-1 в стандартной упаковке, определялось экспериментально. Эти количества соответственно равны $4,44$, $5,56$, $26,2 (\text{мг}/\text{см}^2)$.

Результаты вычислений (сплошная кривая) представлены на рис.1. Экспериментально ход с жесткостью пленки РМ-5-1 в диапазоне энергий квантов $8-60 \text{ кэв}$ определялся при помощи нормальной камеры и характеристического рентгеновского излучения, полученного от различных мишней. Облучение пленки при энергии 141 кэв , 661 кэв и 1250 кэв проводилось на открытом воздухе, чтобы уменьшить вклад рассеянного окружающими предметами излучения. Облученные пленки вместе с вуалью проявлялись одновременно и затем метрировались на денситометре ДФЭ-10. Из полученных почернений вычиталось вуальное. Почекнение пленки при энергии излучения равной 661 кэв и дозе 100 мр принималось за единичное, и относительно его проведена нормировка для почернений при других значениях энергии. Рассчитанный и экспериментальный ход с жесткостью нормировались при энергии 661 кэв , а для значений, взятых из работы /4/ при энергии 65 кэв .

Как видно на рис.1, получено хорошее согласие данных теоретического расчёта с экспериментом при облучении дозиметрической пленки моноэнергетическим излучением. При облучении фильтрованным рентгеновским излучением наблюдается расхождение до 50% для данных работы /4/ и до 25% по результатам нашей работы. Большой разброс экспериментальных точек с теоретическими объясняется тем, что пучки эффективного рентгеновского излучения, применяемые для градуировки в работе /4/, были недостаточно однородны. Учитывая это, мы использовали фильтры большой толщины. Состав и толщины комбинированных фильтров заимствованы из работы /5/. Собственная фильтрация

рентгеновской трубки составляла около $2,5 \text{ мм}$ алюминия, что еще больше увеличило фильтрацию первичного пучка.

Расположение экспериментальных точек при эффективной энергии $13,4 \text{ кэв}$ и $17,6 \text{ кэв}$ выше теоретической кривой объясняется тем, что эффективная энергия $13,4 \text{ кэв}$ получена при напряжении на трубке около 18 кв без дополнительных фильтров, а $17,6 \text{ кэв}$ - при напряжении 20 кв и алюминиевом фильтре $0,94 \text{ мм}$.

Значительное расхождение данных работы /4/ с нашими в области энергий квантов более 300 кэв , видимо, объясняется тем, что градуировка пленки авторами работы /4/ проводилась в условиях, когда вклад рассеянного излучения был значительным. Кроме того, источники, применяемые для градуирования пленки должны иметь большую удельную активность /6/ с целью уменьшения влияния рассеянного в источнике низкоэнергетического излучения /7, 8/.

Энергетическая зависимость плотности почернения дозиметрической пленки РМ-5-1 (рис.1) была использована для расчёта фильтров.

§ 2. Расчёт фильтров кассеты для измерения длинноволнового рентгеновского излучения

Между плотностью почернения пленки и дозой излучения существует пропорциональность. Область пропорциональности для различных эмульсий может быть различной. В области пропорциональности можно записать

$$S_o = K D_o f(E), \quad (1)$$

где S_o - почернение пленки; D_o - доза рентгеновского или гамма-излучения; K - коэффициент пропорциональности; $f(E)$ - функция чувствительности пленки. Почекнение пленки под фильтром толщиной x_1 будет:

$$S_1 = K D_o e^{-\mu x_1} B_i(E, \mu x_1) f(E, \mu x_1),$$

где $B_i(E, \mu x_1)$ - дозовый фактор накопления; μ - линейный коэффициент ослабления излучения с энергией E . Для фильтра любой толщины имеем:

$$S_i = K D_o e^{-\mu x_i} B_i(E, \mu x_i) f(E, \mu x_i). \quad (2)$$

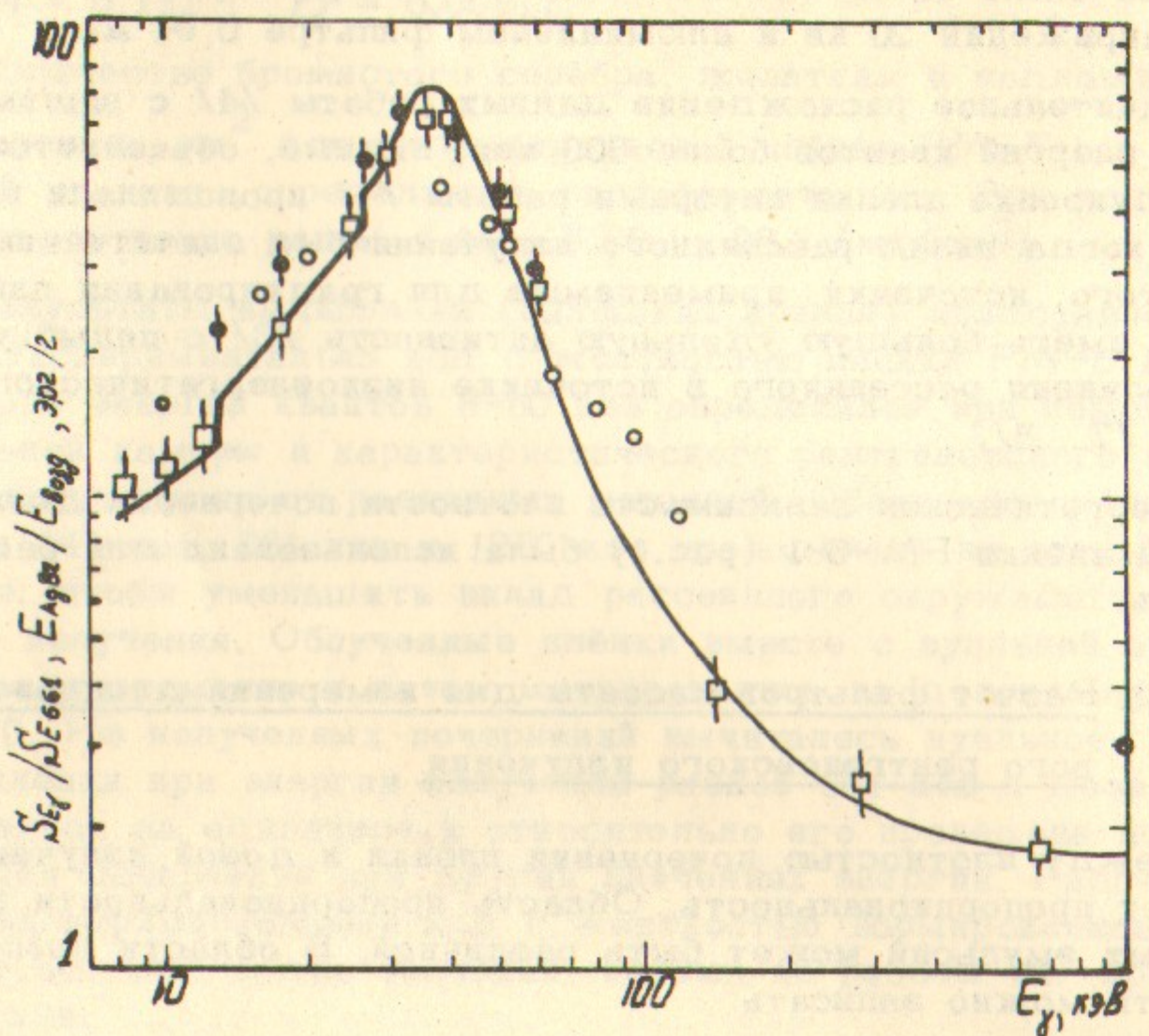


Рис.1. Зависимость плотности почернения пленки типа РМ-5-1 от энергии квантового излучения при постоянной дозе.

- - моноэнергетическое излучение;
- - энергия излучения, определенная по слою половинного ослабления;
- - данные работы /4/.

Почернение пленки определяется дозой рентгеновского излучения, фактором накопления и функцией чувствительности, которая сильно зависит от энергии первичных и вторичных квантов. Запишем отношения для почернений:

$$\frac{S_0}{S_1} = \frac{f(E)}{e^{-\mu x_1} B_1(E, \mu x_1) f(E, \mu x_1)} ; \dots ; \quad (3)$$

$$\frac{S_i}{S_{i+1}} = \frac{e^{\mu(x_{i+1}-x_i)} B_i(E, \mu x_i) f(E, \mu x_i)}{B_{i+1}(E, \mu x_i) f(E, \mu x_{i+1})} .$$

Если зададимся величинами отношений (3), количество которых определяется требуемой точностью нахождения дозы и энергии излучения, то зная факторы накопления и энергетические спектры после прохождения первичного излучения через фильтры, можем определить необходимые толщины фильтров.

Материал фильтров должен быть достаточно химически чистым, возможности толщины фильтров должны соответствовать или быть кратными стандартным промышленным толщинам материала. Характеристическое излучение фильтра должно иметь низкую энергию, чтобы почернение пленки за счёт этого излучения было минимальным. Материалом, отвечающим таким требованиям, является медь. Толщина фильтра должна быть минимально-возможной, чтобы угловая зависимость чувствительности дозиметров была меньшей. Данных по факторам накопления и энергетическим спектрам для меди при малых значениях μx и низких энергиях в барьерной геометрии в литературе нет. Поэтому их необходимо было рассчитать.

Дозовые факторы накопления и энергетические спектры для фильтров из меди и алюминия рассчитывались методом Монте-Карло на БЭСМ-6 в барьерной геометрии для плоского монопротивленного источника.

Диапазон энергий квантов для меди в расчётах брался от 50 кэВ до 1000 кэВ, для алюминия от 30 до 150 кэВ. Прослеживалась история ста тысяч квантов, при этом учитывались следую-

ющие эффекты и приближения.

1. Когерентное рассеяние. Угловое распределение рассеянных квантов определялось по классической формуле.
2. Фотоэффект. Учитывалось характеристическое излучение.
3. Комптоновское рассеяние. Угловое распределение электронов отдачи определялось нерелятивистской формулой.

Длина пробега электрона в веществе как функция его кинетической энергии задавалась таблично. Траектории электронов считались прямыми. Остаточная энергия после прохождения толщины R определялась следующим образом; из длины пробега R_0 вычиталась толщина R и по разности $\Delta R = R_0 - R$

обратным интерполированием по таблице пробегов находилась энергия.

Дозовые факторы накопления для меди представлены в таблице 1.

На рис.2 приведены энергетические спектры рассеянного излучения после прохождения первичного излучения через фильтры.

По формуле (3) рассчитывались отношения почернений

S_0/S_1 (рис.3), S_1/S_2 (рис.4) и S_2/S_3 (рис.5). Значения дозовых факторов накопления брались из таблицы 1. Значения функции чувствительности пленки определялись по графику на рис.1 для средней энергии рассеянного излучения и энергии первичного пучка. Поправка на чувствительность пленки определялась как средневзвешенная величина указанных значений функции.

Минимальная энергия квантов рентгеновского и гамма-излучений, с которой необходимо их регистрировать, равна приблизительно 10 кэв. Поэтому расчёт толщины начат с энергии 10 кэв. На рис.3 (сплошные кривые) представлены расчётные отношения почернений в зависимости от толщины первого фильтра для энергий квантов 10, 15, 20 и 30 кэв. Абсолютная ошибка при измерении почернения S на денситометре ДФЭ-10 равна ± 0.02 (где $S = \lg I_0/I$; I_0 — интенсивность падающего светового потока, I — интенсивность прошедшего через пленку

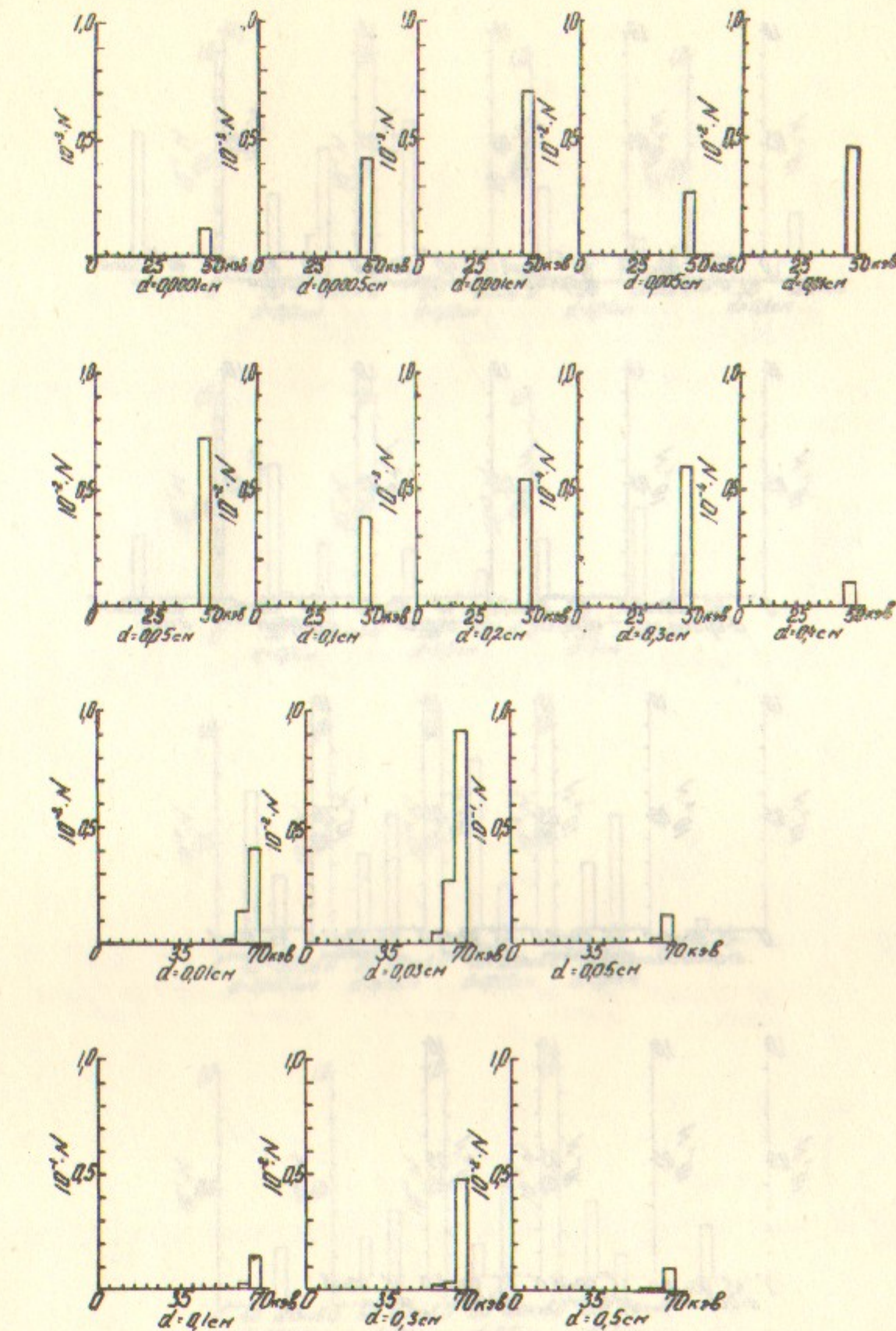


Рис.2а. Функция распределения по энергиям числа рассеянных квантов, прошедших через медный барьер, в расчёте на один первичный квант с энергией 50 и 70 кэв.

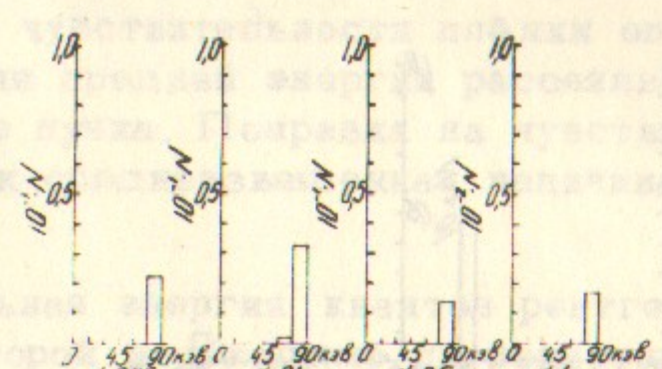
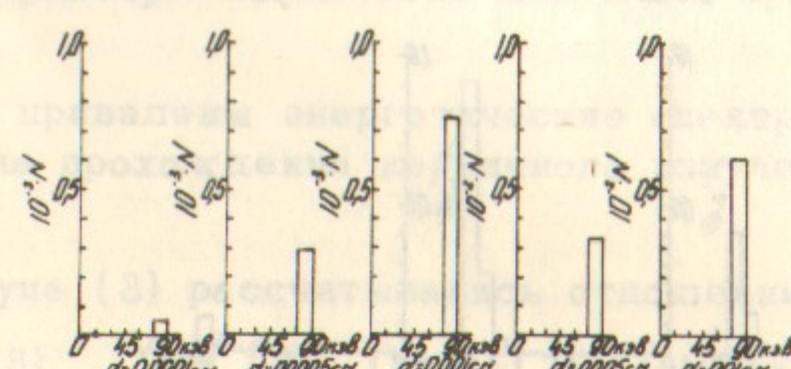
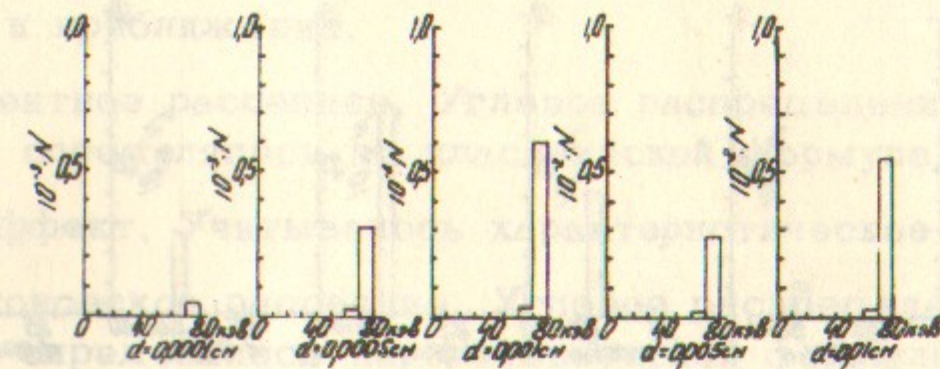


Рис.2б. Функция распределения по энергиям числа рассеянных квантов, прошедших через медный барьер, в расчёте на один первичный квант с энергией 80 и 90 кэв.

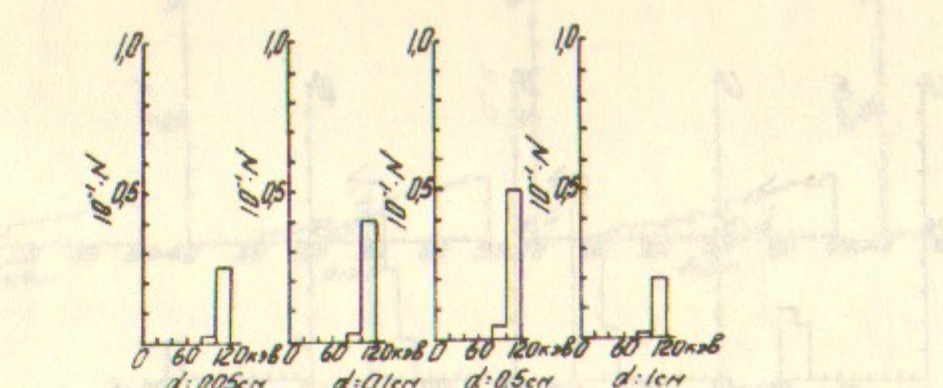
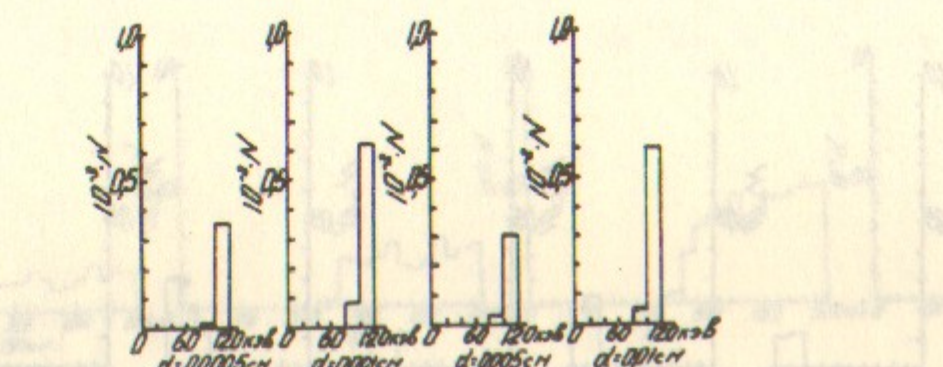
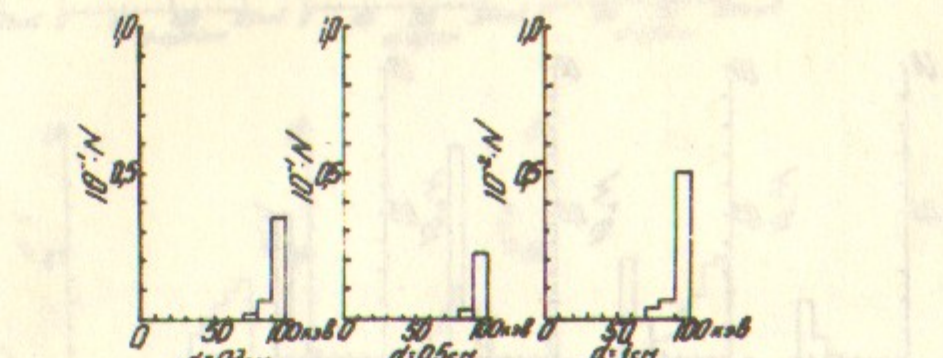
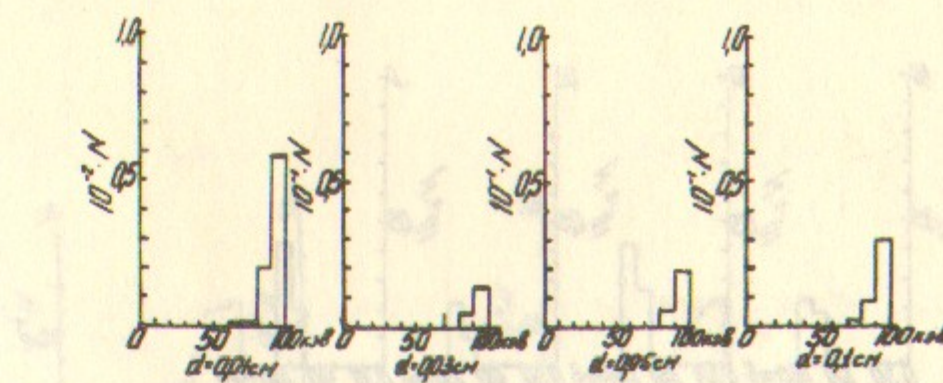


Рис.2в. Функция распределения по энергиям числа рассеянных квантов, прошедших медный барьер, в расчёте на один первичный квант с энергией 100 и 120 кэв.

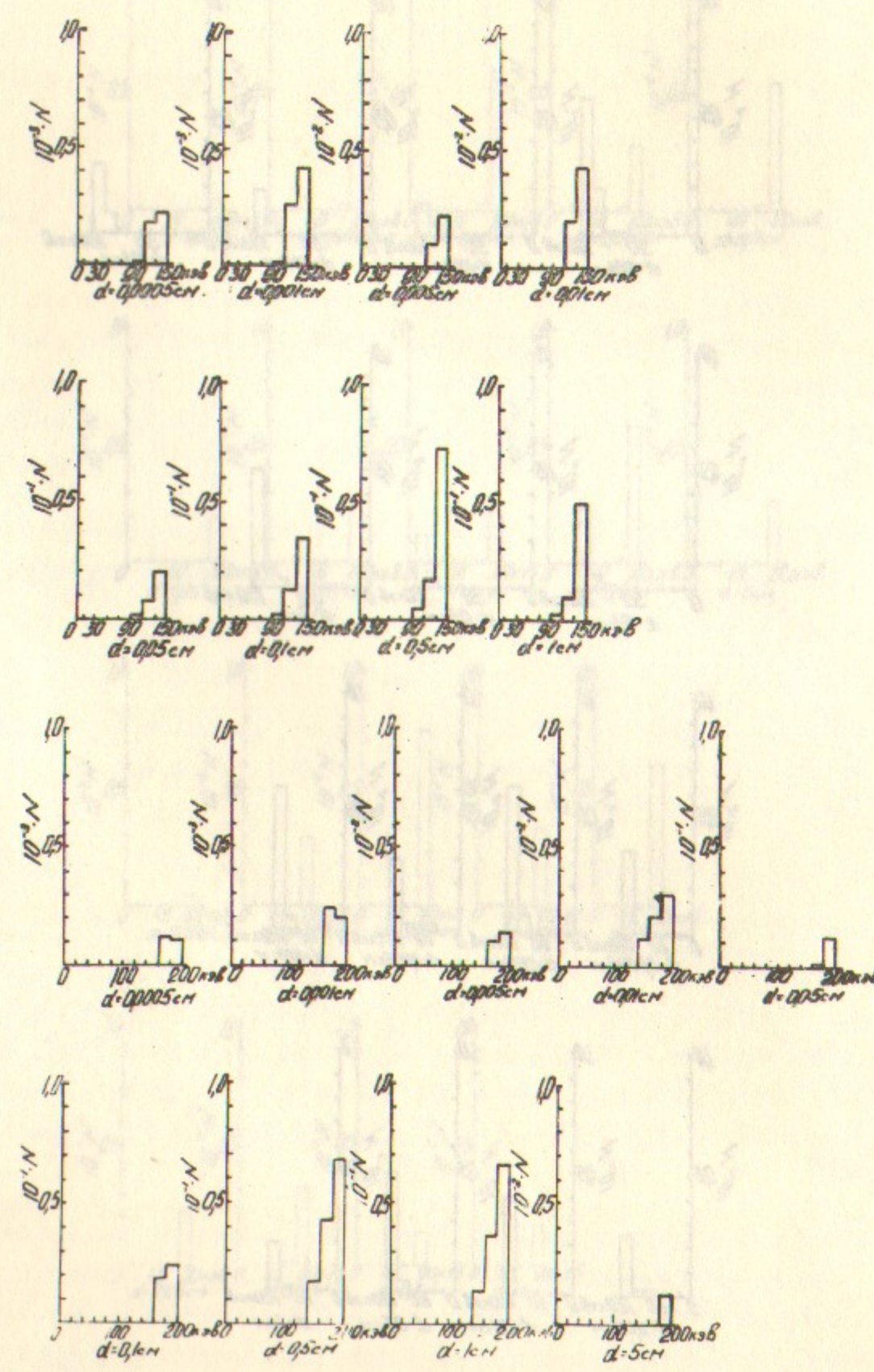


Рис.2г. Функция распределения по энергиям числа рассеянных квантов, прошедших медный барьер, в расчёте на один первичный квант с энергией 150 и 200 кэв.

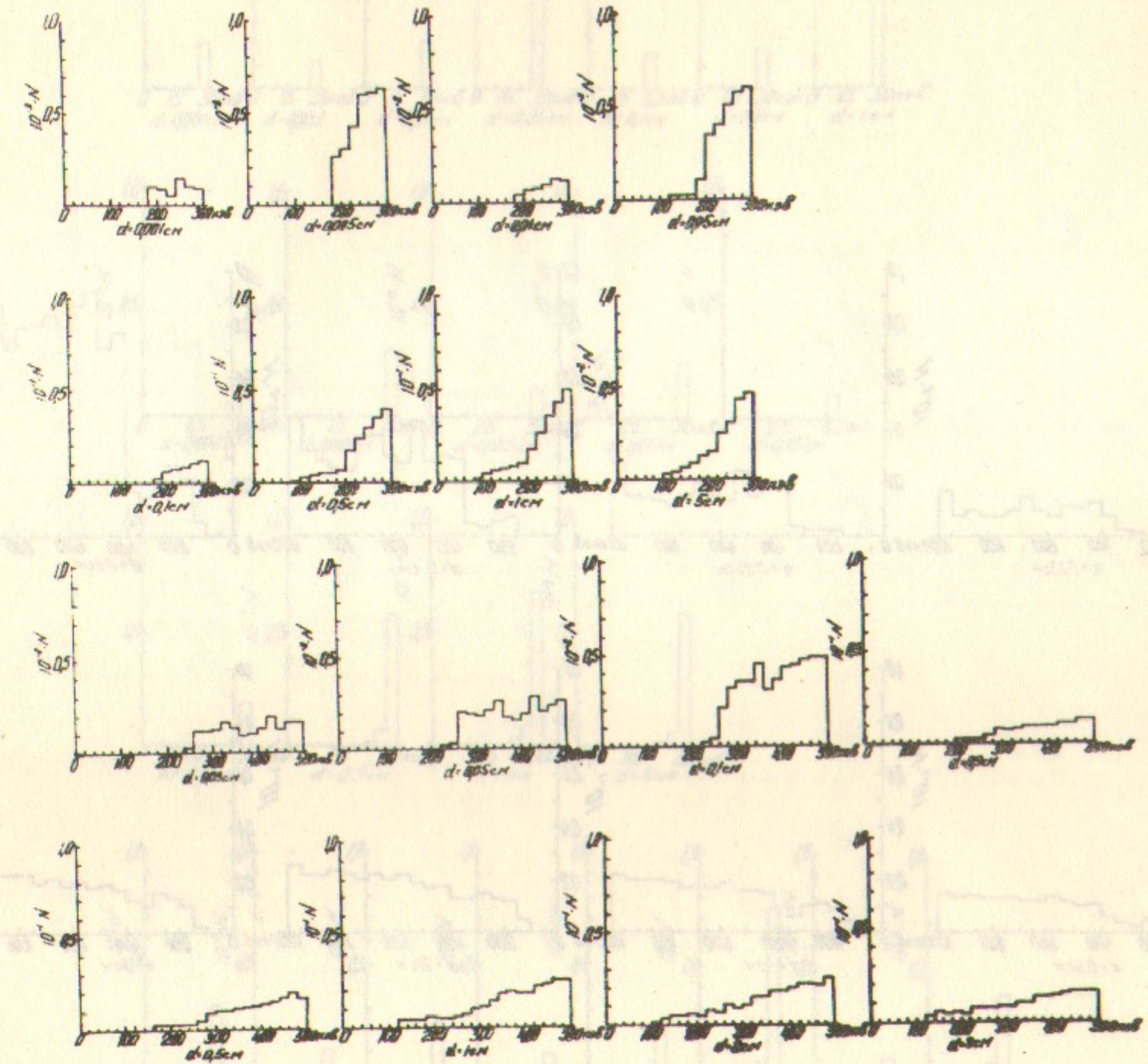


Рис.2д. Функция распределения по энергиям числа рассеянных квантов, прошедших медный барьер, в расчёте на один первичный квант с энергией 300 и 500 кэв.

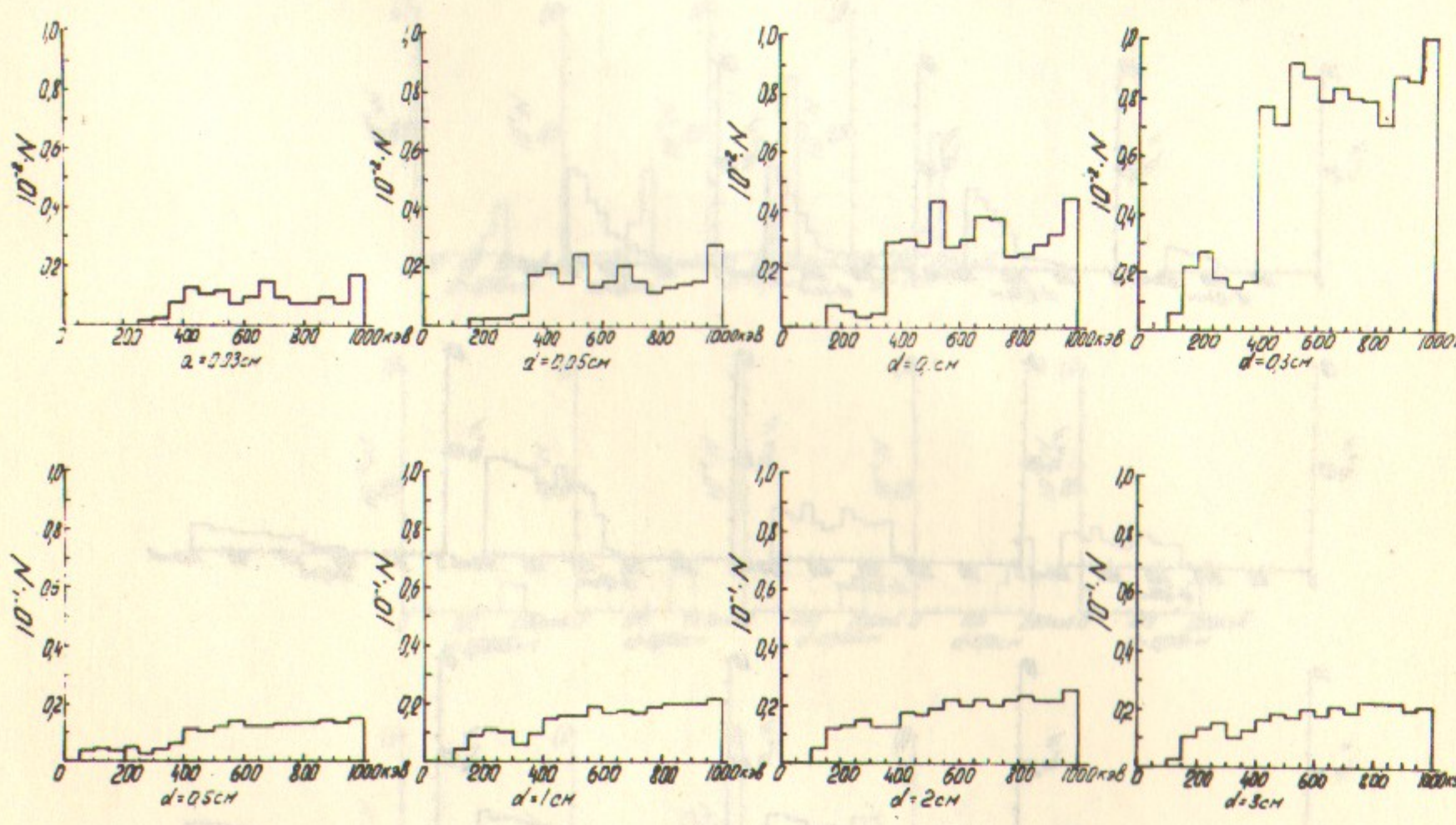


Рис.2е. Функция распределения по энергиям числа рассеянных квантов, прошедших медный барьер, в расчёте на один первичный квант с энергией 1000 кэв.

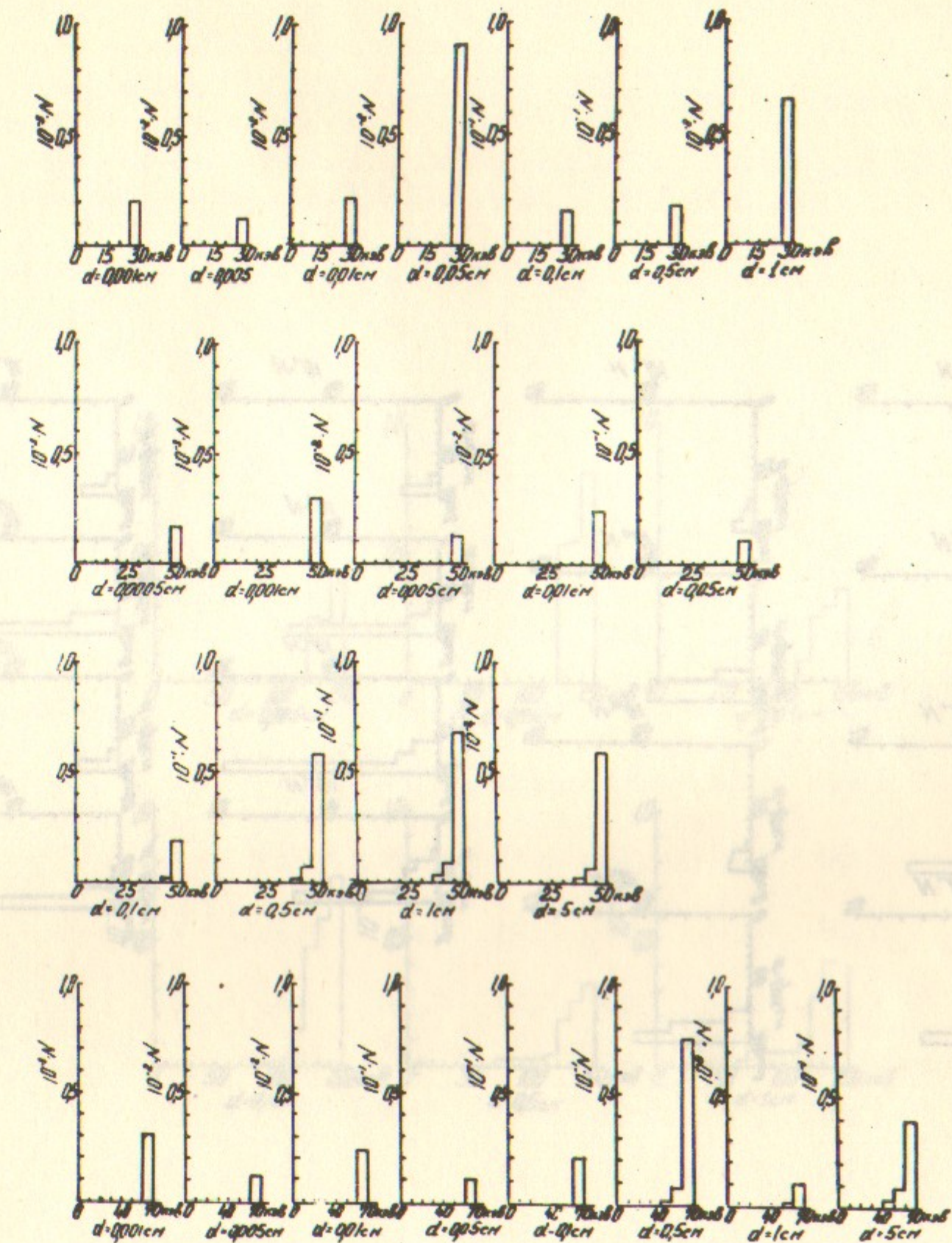


Рис.2ж. Функция распределения по энергиям числа рассеянных квантов, прошедших алюминиевый барьер, в расчете на один первичный квант с энергией 30, 50 и 70 кэв.

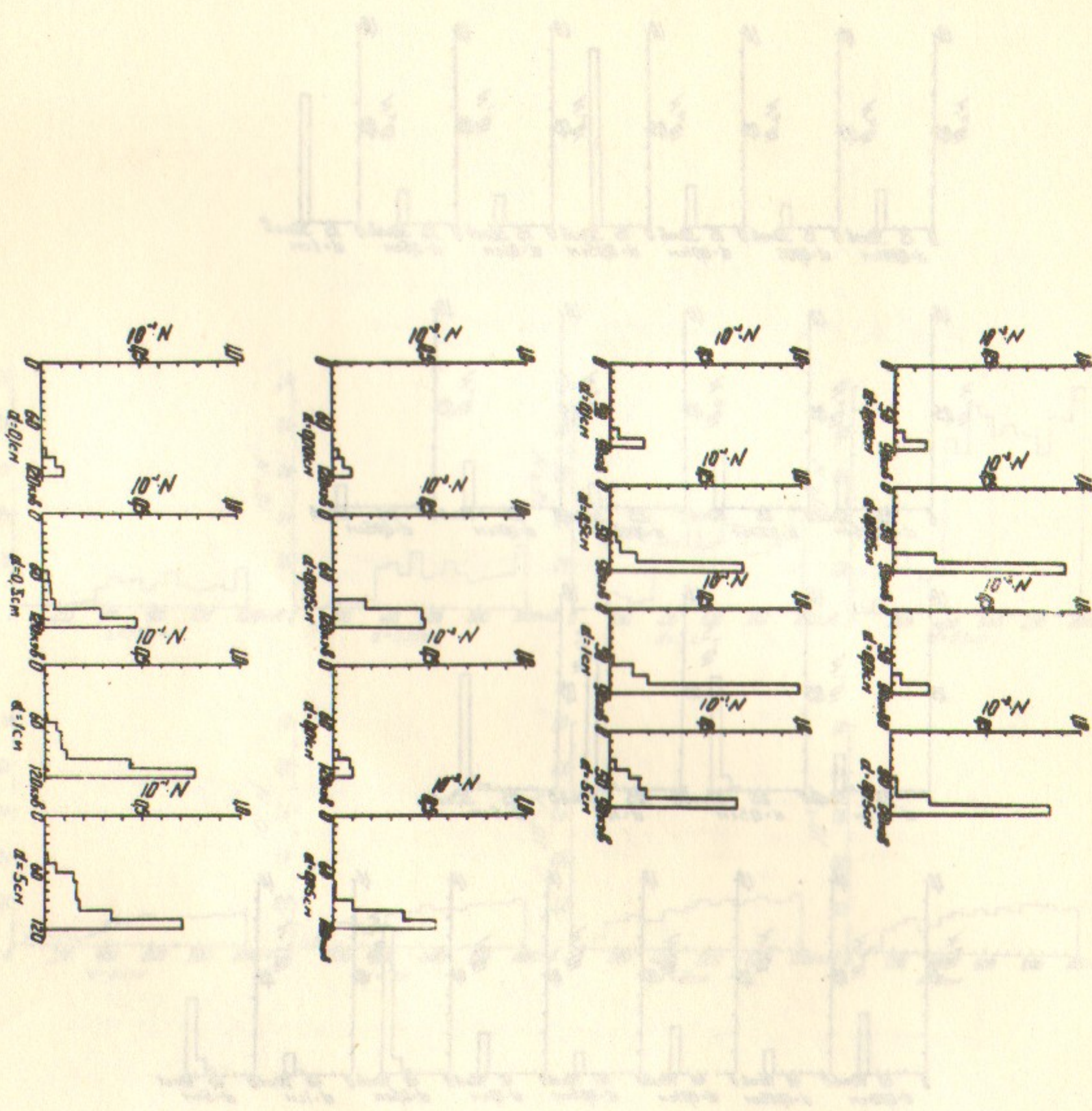


Рис.2з. Функция распределения по энергиям числа рассеянных квантов, прошедших алюминиевый барьер, в расчёте на один первичный квант с энергией 90 и 120 кэв.

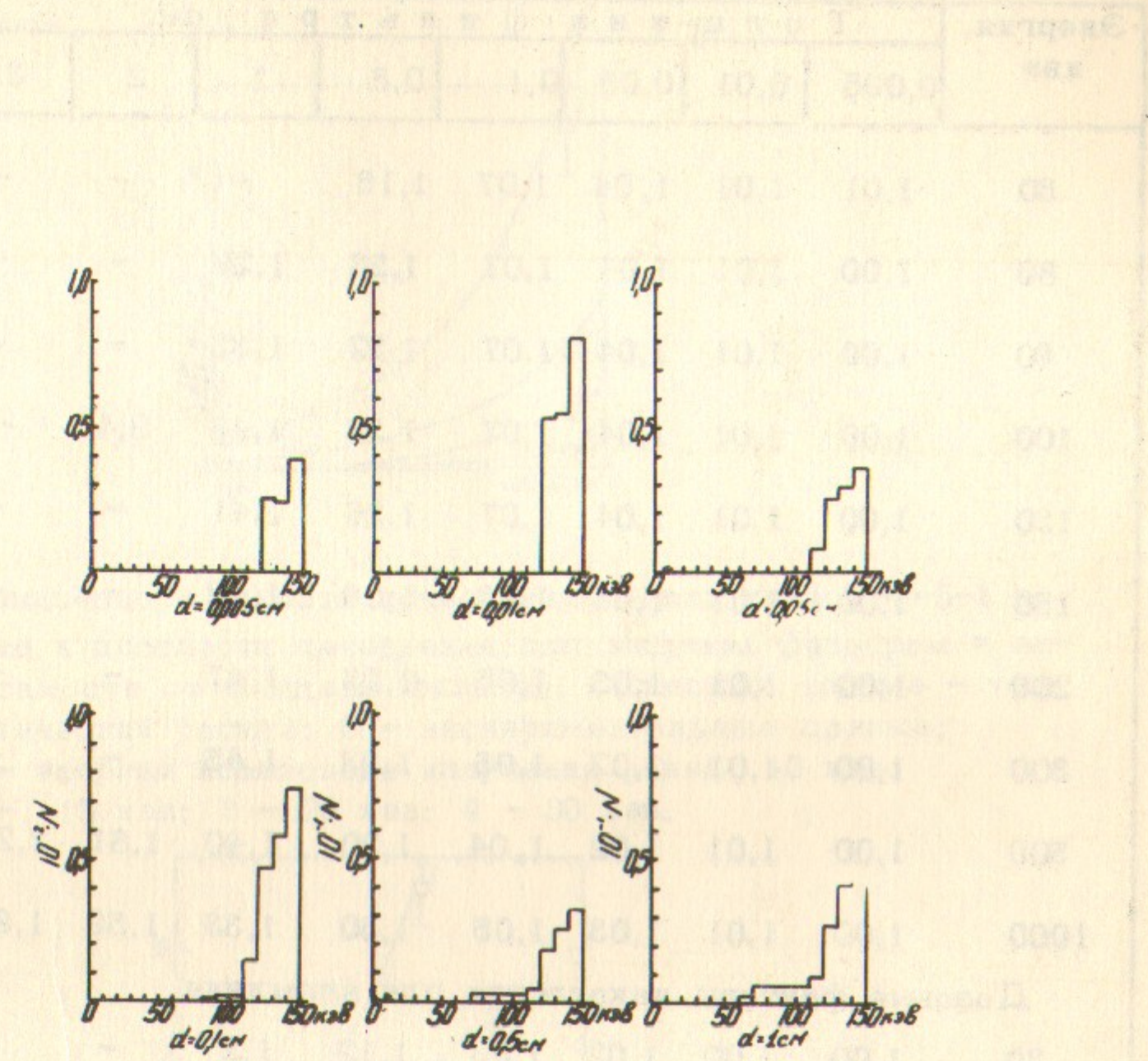


Рис.2и. Функция распределения по энергиям числа рассеянных квантов, прошедших алюминиевый барьер, в расчёте на один первичный квант с энергией 150 кэв.

Таблица 1

Дозовые факторы накопления для меди

Энергия, кэв	Толщина фильтра, см.								
	0,005	0,01	0,05	0,1	0,5	1	2	3	5
50	1,01	1,01	1,04	1,07	1,16	-	-	-	-
80	1,00	1,01	1,04	1,07	1,23	1,29	-	-	-
90	1,00	1,01	1,04	1,07	1,22	1,33	-	-	-
100	1,00	1,01	1,04	1,07	1,23	1,46	2,4	-	-
120	1,00	1,01	1,04	1,07	1,26	1,41	-	-	-
150	1,00	1,01	1,03	1,06	1,26	1,46	-	-	2,7
200	1,00	1,01	1,03	1,05	1,23	1,47	-	-	2,88
300	1,00	1,01	1,02	1,05	1,23	1,45	-	-	3,29
500	1,00	1,01	1,02	1,04	1,20	1,40	1,81	2,20	-
1000	1,00	1,01	1,03	1,05	1,30	1,33	1,59	1,9	-
Дозовые факторы накопления для алюминия.									
30	1,00	1,00	1,02	1,03	1,12	1,2	-	-	-
50	1,00	1,00	1,02	1,03	1,14	1,26	-	-	2,0
70	1,00	1,00	1,01	1,03	1,12	1,25	-	-	2,18
90	1,00	1,00	1,01	1,02	1,11	1,23	-	-	2,25
120	1,00	1,00	1,01	1,02	1,11	1,21	-	-	2,22
150	1,00	1,00	1,01	1,02	1,1	1,2	-	-	-

светового потока). Если мы хотим определить энергию рентгеновского излучения по поглощению в фильтре, то нам необходимо иметь почернение под фильтром не менее $0,02 \times 3 \div 4 / 0\%$, т.е. минимальное почернение под фильтром может быть $0,06 \div 0,08$. В этом случае погрешность прибора не будет иметь определяющее значение.

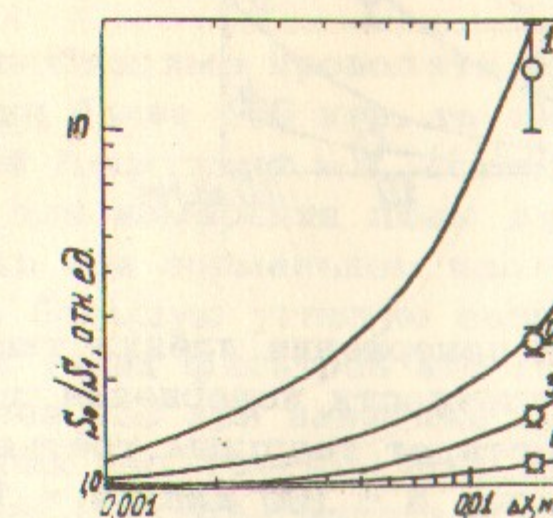


Рис.3. Отношение плотности почернения плёнки типа РМ-5-1 в окне к плотности почернения под медным фильтром в зависимости от толщины фильтра. Сплошные кривые – теоретический расчёт: 0 – экспериментальные данные; 1 – энергия квантового излучения равна 10 кэв; 2 – 15 кэв; 3 – 20 кэв; 4 – 30 кэв.

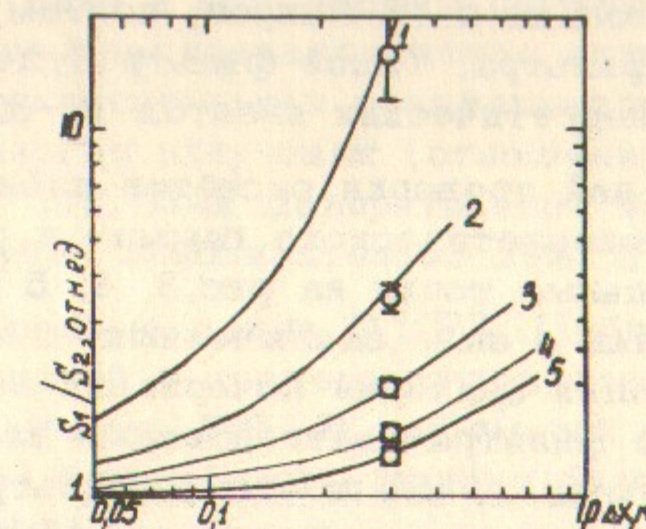


Рис.4. Отношение плотности почернения плёнки типа РМ-5-1 под первым фильтром к плотности почернения под вторым фильтром в зависимости от толщины второго фильтра.
1 – 30 кэв; 2 – 40 кэв; 3 – 50 кэв; 4 – 60 кэв; 5 – 70 кэв.

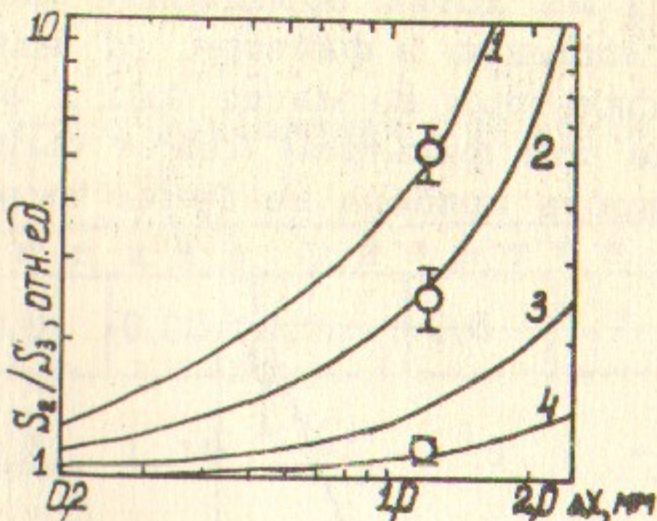


Рис.5. Отношение плотности покрытия пленки типа РМ-5-1 под вторым фильтром к плотности покрытия под третьим фильтром в зависимости от толщины третьего фильтра.
1 - 60 кэв; 2 - 70 кэв; 3 - 100 кэв; 4 - 141 кэв.

Фотодозиметры выдаются персоналу обычно на месячный срок (предельно-допустимая доза около 400 мр). Покрытие в окне при дозе 100 мр и энергии излучения 10 кэв приблизительно равно 0,5. Для дозы 400 мр покрытие в окне приблизительно равно 2,0, а под фильтром в зависимости от его толщины может быть 0,06 и более. Такому требованию соответствует медный фильтр толщиной от 1 до 12 микрон. Промышленность выпускает медную фольгу начиная только с 15 микрон, поэтому эта толщина и взята для первого фильтра. Такой фильтр будет работать в интервале энергий моноэнергетических квантов 10-30 кэв.

Для экспериментальной проверки расчётов пленки облучались различными дозами моноэнергетического гамма- и рентгеновского излучения. Экспериментальные точки на рис.3, 4, 5 получены для значений покрытий пленки в окне, заключенных в интервале 1,0 - 2,0 и соответствующих значений покрытий под фильтрами. Проверка работы первого фильтра рентгеновским излучением с эффективной энергией показала, что по этому фильтру можно определять энергию рентгеновского излучения до 45 кэв.

Аналогичные рассуждения были сделаны при расчёте второго фильтра. Необходимые значения ΔX (рис.4) заключены в интервале 0,2 - 0,3 мм. Так как толщина X_2 второго фильтра связана с толщиной X_1 первого фильтра выражением $\Delta X = X_2 - X_1$

то учитывая стандартные толщины меди, второй фильтр лучше взять 0,3 мм. Второй фильтр будет работать в интервале энергий моноэнергетических квантов от 30 до 70 кэв.

Толщина третьего фильтра (рис.5) выбрана 1,5 мм. Третий фильтр будет работать в интервале моноэнергетических квантов 60 - 150 кэв.

Если нам необходимо проводить оценку дозы с учётом эффективной энергии более 150 кэв, то толщины медных фильтров будут измеряться десятками мм. Кассета с такими фильтрами будет пригодна для измерения дозы рентгеновского и гамма-излучений только при нормальном падении излучения, так как она будет иметь большую угловую зависимость чувствительности. Но в применении таких фильтров нет необходимости. При энергиях квантов более 150 кэв зависимость покрытия пленки РМ-5-1 от энергии под третьим фильтром носит приблизительно линейный характер ($\pm 25\%$) вплоть до энергии 1250 кэв.

^{PM-5-1}
При градуировании пленки рентгеновским излучением с энергией квантов 10 кэв и дозе 400 мр получены следующие покрытия пленки в окне за вычетом вуали: $S_0^{(1)} = 1,96$; $S_0^{(2)} = 1,88$; $S_0^{(3)} = 1,99$; $S_0^{(4)} = 1,85$; $S_0^{(5)} = 1,86$; $S_0^{(6)} = 1,89$; $S_0^{(7)} = 1,9$; $S_0^{(8)} = 1,87$; $S_0^{(9)} = 1,92$; $S_0^{(10)} = 1,9$. Аналогично для покрытия под первым фильтром: 0,11; 0,12; 0,11; 0,12; 0,13; 0,1; 0,13; 0,1; 0,11; 0,1. Среднеарифметическое значение покрытий пленки в окне и под первым фильтром равно 1,902 и 0,113 и соответственно среднеквадратичные отклонения равны 0,044 и 0,038. Отсюда относительная среднеквадратичная погрешность определения энергии излучения (отношения покрытий) равна приблизительно 33%. Для доверительной вероятности, равной 0,98 /10/ ошибка будет приблизительно 28%, а для 0,999 - 50%.

Согласно рекомендации МКРЗ, Публикация 12, при определении дозы, близкой к предельно-допустимой, неопределенность не должна превышать 50%. В нашем же случае на 1000 измерений только одно будет иметь ошибку более 50%, что можно считать допустимым.

Ошибка в определении энергии обусловлена в основном не большой точностью нахождения покрытия под фильтром. Поэтому найдем доверительные интервалы для дозы 400 мр и среднего значения покрытия под фильтром 0,113. Из таблицы

коэффициентов Стьюдента для 0,999 доверительной вероятности

имеем - 4,8. Отсюда по формуле $\Delta X = \frac{t_{\alpha/2} S_n}{\sqrt{n}}$, где $t_{\alpha/2}$ -

коэффициент Стьюдента, S_n - среднеквадратичная ошибка, n - число измерений находим, что интервал равен $\pm 0,058$, т.е. $0,055 < 0,113 < 0,171$. Округляя, получим $0,06 < 0,113 < 0,17$, т.е. значения доверительного интервала не выходят за установленные нами ранее границы.

Вычисления для энергии квантов 12 кэв и дозе 400 мр дают относительную среднеквадратичную погрешность, равную 24% для доверительной вероятности 0,999 при определении энергии излучения. Относительная среднеквадратичная погрешность определения энергии рентгеновского излучения в конце диапазона (30 кэв) по первому фильтру равна приблизительно 2% - 24% для доз 100-10 мр и доверительной вероятности 0,999.

Таким образом, используя медный фильтр толщиной 15 микрон, предельно-допустимую месячную дозу рентгеновского излучения с энергией квантов 10 кэв можно определить с допустимой для практики точностью. Дозы, большие 400 мр будут определяться с меньшей погрешностью. Кроме того, на практике в подавляющем большинстве случаев приходится иметь дело с эффективной энергией рентгеновского и гамма-излучений и ошибка в определении отношений будет значительно меньше, так как почернение под фильтром будет больше при одинаковых с моноэнергетическим излучением дозах. Большее почернение обусловлено присутствием в спектре рентгеновского излучения квантов с энергией большей 10 кэв.

Диапазон регистрируемых доз плёнкой РМ-5-1 при использовании денситометра ДФЭ-10 и вуали равной 0,3, а также среднеквадратичные ошибки определения дозы приведены в табл. 9.

Режим проявления плёнок следующий:

- а) проявление при температуре проявителя 18°C - 10 минут;
- б) сполоскание дистиллированной водой - 2 минуты;
- в) фиксирование при комнатной температуре - 20 минут;
- г) промывка в дистиллированной воде - 15 минут.

Состав проявителя:

1. Вода дистиллированная	- 750 мл.
2. Метол	- 1 гр.
3. Сульфат натрия безводный	- 26 г.
4. Гидрохинон	- 5 г.
5. Сода безводная	- 20 г.
6. Калий бромистый (10% раствор)	- 10 мл.
7. Вода дистиллированная до	- 1000 мл.

Состав фиксажа:

1. Натрий серноватисто-кислый кристаллический	- 260 г.
2. Аммоний хлористый	- 50 г.
3. Метабисульфит натрия	- 16 г.
4. Вода дистиллированная до	- 1 л.

В трех литрах проявителя обрабатывается не более 250 плёнок РМ-5-1. Проявитель используется только один раз, независимо от того, проявляется 250 плёнок или меньше. Реактивы для рабочих растворов используются только марки ч.д.а. Строго выдерживается режим обработки.

В течение 8 лет проводилось облучение контрольных плёнок 1-3 раза в месяц. После обработки плёнок строился график зависимости плотности почернения от дозы. Сопоставление графиков между собой показывает, что среднеквадратичное отклонение графиков от графика, проведенного по средним значениям, не превышает $\pm 5\%$. На основании этого был сделан вывод, что нет необходимости каждый раз проводить облучение контрольных плёнок, а можно ограничиться только проверкой каждой новой партии плёнок.

На основании расчётов была разработана и изготовлена из капрона кассета с тремя медными фильтрами под дозиметрические плёнки в стандартной упаковке. Толщина фильтров равна 0,015, 0,3 и 1,5 мм. Методика определения дозы излучения фотодозиметром с медными фильтрами описана в работе /11/.

§ 3. Угловая зависимость чувствительности фотодозиметров

Использование фотодозиметров в практике индивидуального контроля связано с облучением их под различными углами. При этом эффективная толщина фильтров в кассете будет различной для разных углов падения излучения. Знание зависимости чувствительности от угла падения излучения позволит избежать грубых ошибок при определении дозы облучения.

Зависимость чувствительности фотодозиметра от угла падения определялась экспериментально. Фотодозиметры облучались под углами 0° (нормальное падение), 10° , 20° , 45° , 70° и 90° рентгеновским излучением с эффективной энергией и гаммаизлучением цезия - 137. Результаты эксперимента представлены на рис.6.

Чувствительность открытой плёнки (окно) с увеличением угла падения излучения приблизительно до 45° увеличивается практически для всех энергий квантов, а затем начинает уменьшаться (рис.6а). Такое изменение чувствительности плёнки можно объяснить тем, что увеличивается эффективная толщина эмульсии с увеличением угла падения. При этом, сначала число привзаимодействующих с эмульсией квантов растёт, а затем при дальнейшем увеличении угла падения вследствие ослабления их уменьшается. Кроме того, необходимо принять во внимание, что с увеличением угла падения увеличивается толщина упаковки плёнки. Для энергий квантов 10-20 кэв при больших углах падения ослабление излучения упаковкой будет существенным 10-20% и более. За счёт этих эффектов чувствительность плёнки РМ-5-1 при эффективной энергии рентгеновского излучения при угле падения близком к 90° составляет приблизительно 0,35 от чувствительности при нормальном падении. С увеличением энергии излучения, когда средняя длина свободного пробега квантов становится много больше эффективной толщины эмульсии и упаковки увеличения чувствительности не наблюдается. Небольшое уменьшение чувствительности плёнки при больших углах падения излучения можно объяснить ослаблением излучения фильтрами, т.к. источник излучения имел не параллельный пучок квантов.

Представляет интерес рассмотрение изменения почернения плёнки при увеличении угла падения излучения на неё с точки

зрения электронного равновесия. Если поток излучения падает на вещество, то с увеличением толщины вещества нарастает ионизация и её максимум будет на толщине, где устанавливается электронное равновесие. Для того, чтобы электронное равновесие с дальнейшим увеличением толщины существовало, необходимо, чтобы ослабление первичного излучения было пренебрежимо мало на расстоянии, равном среднему пробегу вторичных электронов. Это условие для плёнки не выполняется. Поэтому при изменении угла падения сначала наблюдается увеличение почернения, а затем его уменьшение.

Анализируя данные рис.6 приходим к выводу, что при определении дозы излучения по первому фильтру при углах падения больших 90° мы всегда будем получать завышенную дозу. Так как отношения почернений в окне и под первым фильтром будут с увеличением угла увеличиваться, то эффективная энергия, определенная по этим отношениям, будет меньше истинной. С уменьшением энергии поправочный коэффициент увеличивается в области энергии квантов до 35 кэв. Если энергия излучения более 35 кэв, то при увеличении угла падения, энергия и доза излучения будут занижаться.

При углах падения 0° - 20° при нахождении дозы излучения угловой зависимостью чувствительности фотодозиметра можно пренебречь. При больших углах падения излучения необходимо вводить угловую поправку в полученную дозу, в диапазоне энергий квантов 10-100 кэв. При более высоких энергиях излучения поправки можно не вводить, так как ошибка при определении дозы за счёт изменения чувствительности не будет превышать 10%.

Методика введения угловых поправок несложна. По теневой картине на плёнке оценивают угол падения излучения и затем используя данные рис.6 находят истинное почернение плёнки под данным фильтром и в окне. Нахождение поправок увеличивает трудоёмкость и вносит дополнительную сложность в обработку фотодозиметров. Проведенный нами анализ результатов более 20000 индивидуальных фотодозиметров, находившихся у персонала, работающего в самых различных условиях, показывает, что только приблизительно 1-2% фотодозиметров от общего количества требуют введения поправок и изучения условий, при которых произошло облучение. Такое небольшое количество фотодозиметров не займет много времени у персонала, занимающегося их обработкой.

твадији фоторезистором и постепенно веде до полного выгорания. В отсутствии излучения чувствительность падает за течёт мгновенем до нуля и восстанавливается вновь. Чувствительность "Фотодиода" к излучению излучениям с энергией 10 кэВ и выше не изменяется в течение 1000 часов.

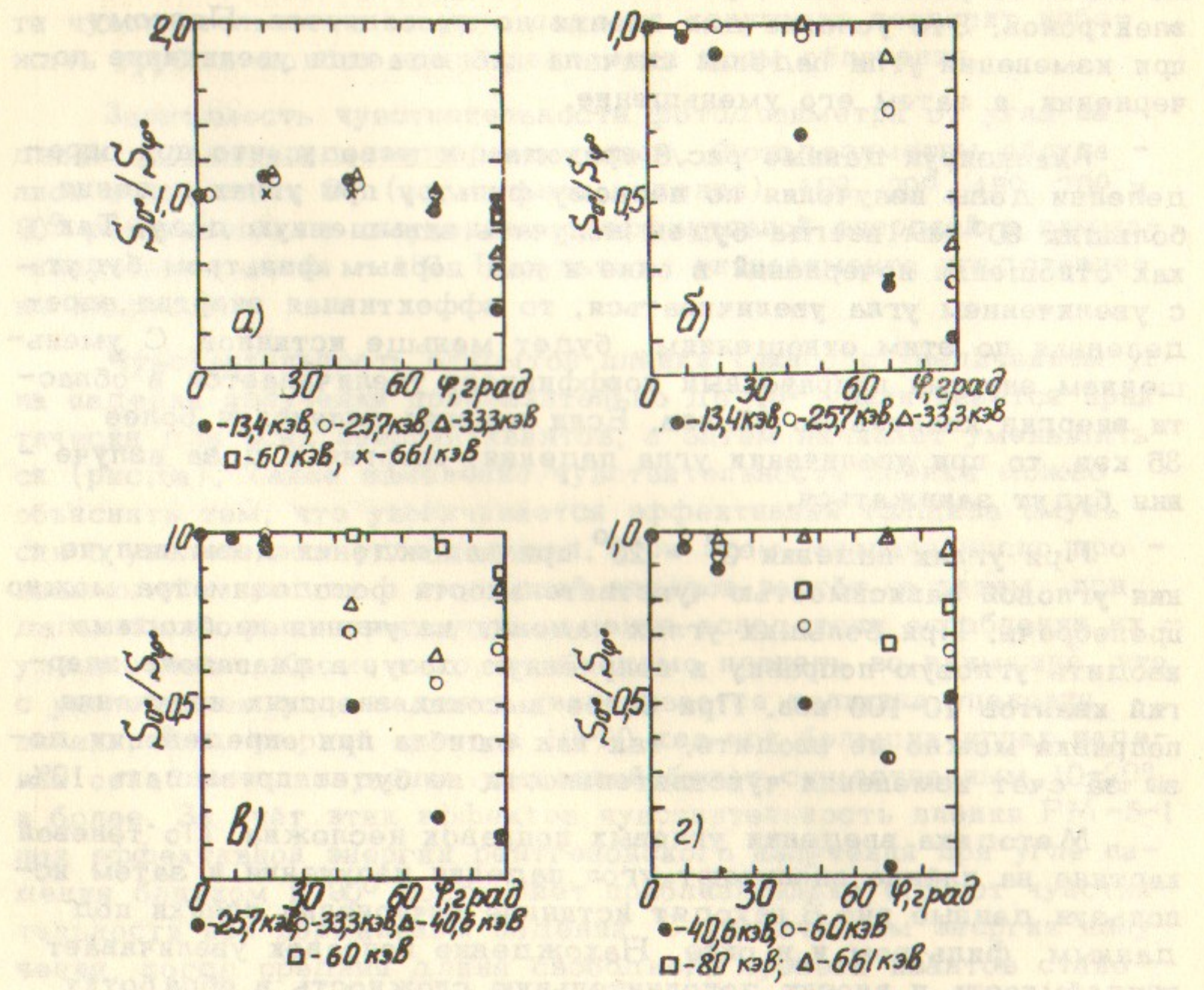


Рис.6. Зависимость чувствительности фотодозиметра от угла падения квантового излучения.
а) окно; б) медный фильтр толщиной 0,015 мм;
в) медный фильтр толщиной 0,3 мм;
г) медный фильтр толщиной 1,5 мм.

Изменение чувствительности в течение 1000 часов не превышает с логарифмической плавкостью 0,015. Стабильность излучения в диапазоне от 10 до 1250 кэВ в КН-1 и А-2 равна 0,015.

Таблица 2
Диапазоны доз, регистрируемых плёнкой РМ-5-1

E, кэВ	Диапазон доз, рентген	Среднеквадратичная ошибка определения дозы на краях диапазона для доверительной вероятности 0,999	
10	0,1 - 0,7	76	23
15	0,01 - 0,25	41	12
20	0,005 - 0,2	30	11
30	0,002 - 0,09	38	5
40	0,003 - 0,13	32	5
50	0,005 - 0,15	44	5
60	0,01 - 0,2	39	4
100	0,02 - 0,5	27	6
150	0,03 - 0,7	20	6
279	0,05 - 1,0	22	4
661	0,1 - 2,5	28	5
1250	0,1 - 2,5	27	5

Любая одна из этих величин является несколько грубой. В результате этого можно сказать, что чувствительность квантовому излучению в диапазоне от 10 до 1250 кэВ в КН-1 и А-2 равна 0,015. Стабильность излучения в диапазоне от 10 до 1250 кэВ при энергии излучения около 40 кэВ равна 0,015, при энергии излучения 1250 кэВ.

Плёнки типа КН-1 и А-2 помещаются в стандартную для полихроматической аппаратуры рамку и облучаются излучением излучения.

Таблица 3

Диапазоны доз рентгеновского и гамма-излучений, регистрируемых плёнками типа КН-1 и А-2

$E_{\text{эфф}}, \text{кэв}$	Диапазоны доз, рентгены		Коэффициенты пропускания для	
	КН-1	А-2	$E_{\text{эфф}}$	$E_{\text{моно}}$
10	0,5 - 60	15 - 850	0,5	0,625
13,4	0,4 - 50	10 - 610	0,67	0,819
17,6	0,3 - 40	5 - 420	0,74	0,811
25,7	0,2 - 25	0,8 - 150	0,87	0,918
33,3	0,1 - 17	0,3 - 100	0,80	0,896
40,6	0,1 - 17	0,9 - 140	0,94	0,938
50	0,17 - 20	1,2 - 150	0,96	0,961
60	0,2 - 25	2 - 190	0,97	0,978
80	0,3 - 40	8 - 300	0,98	0,987
279	2 - 160	18 - 1300	0,997	0,997
661	3 - 180	20 - 1800	1	1
1250	3 - 180	20 - 1800	1	1

Итак, фотодозиметр с тремя медными фильтрами обеспечивает с достаточной для практики точностью измерение доз рентгеновского и гамма-излучений в диапазоне энергий квантов от 10 до 1250 кэв.

§ 4. Расширение диапазона доз, регистрируемых фотодозиметром

Как показано в предыдущем параграфе, диапазон доз, регистрируемых дозиметром на основе плёнки РМ-5-1, невелик. В практике часто бывает необходимость регистрировать гораздо большие дозы. Одним из способов увеличения диапазона доз является способ ослабления плотности почернения плёнки при облучении её большими дозами. Проведенные нами эксперименты с плёнкой типа РМ-5-1 по ослаблению плотности почернения показали, что, диапазон доз в этом случае может быть увеличен в 3-5 раз в области энергий квантов более 150 кэв. При энергии излучения менее 150 кэв этот способ применять нельзя. При больших дозах зависимость между дозой облучения и плотностью почернения плёнки носит нелинейный характер, поэтому при ослаблении плотности почернения линейным ослаблением нарушается соотношение между почернениями (отношение почернений или доз после ослабления увеличивается).

При другом способе увеличения диапазона доз, регистрируемых фотодозиметром, применяют одновременно две, три плёнки с разной чувствительностью. В этом случае диапазон доз может быть выбран от нескольких миллирентген до нескольких сотен рентген. Плёнки подбираются таким образом, чтобы при максимально возможной дозе для первой плёнки, можно было бы определить минимальную дозу на следующей и т.д.

Для этих целей нами было исследовано несколько типов плёнок. В результате этих исследований найдено, что комбинация из трех плёнок типа РМ-5-1, КН-1 и А-2 (дубль-негативная) перекрывает диапазон доз приблизительно от 2 мр до 100р при энергии излучения около 40 кэв и от 100 мр до 1800 р. при энергии излучения 1250 кэв.

Плёнки типа КН-1 и А-2 помещались в стандартную для дозиметрической плёнки типа РМ-5-1 упаковку и облучались на

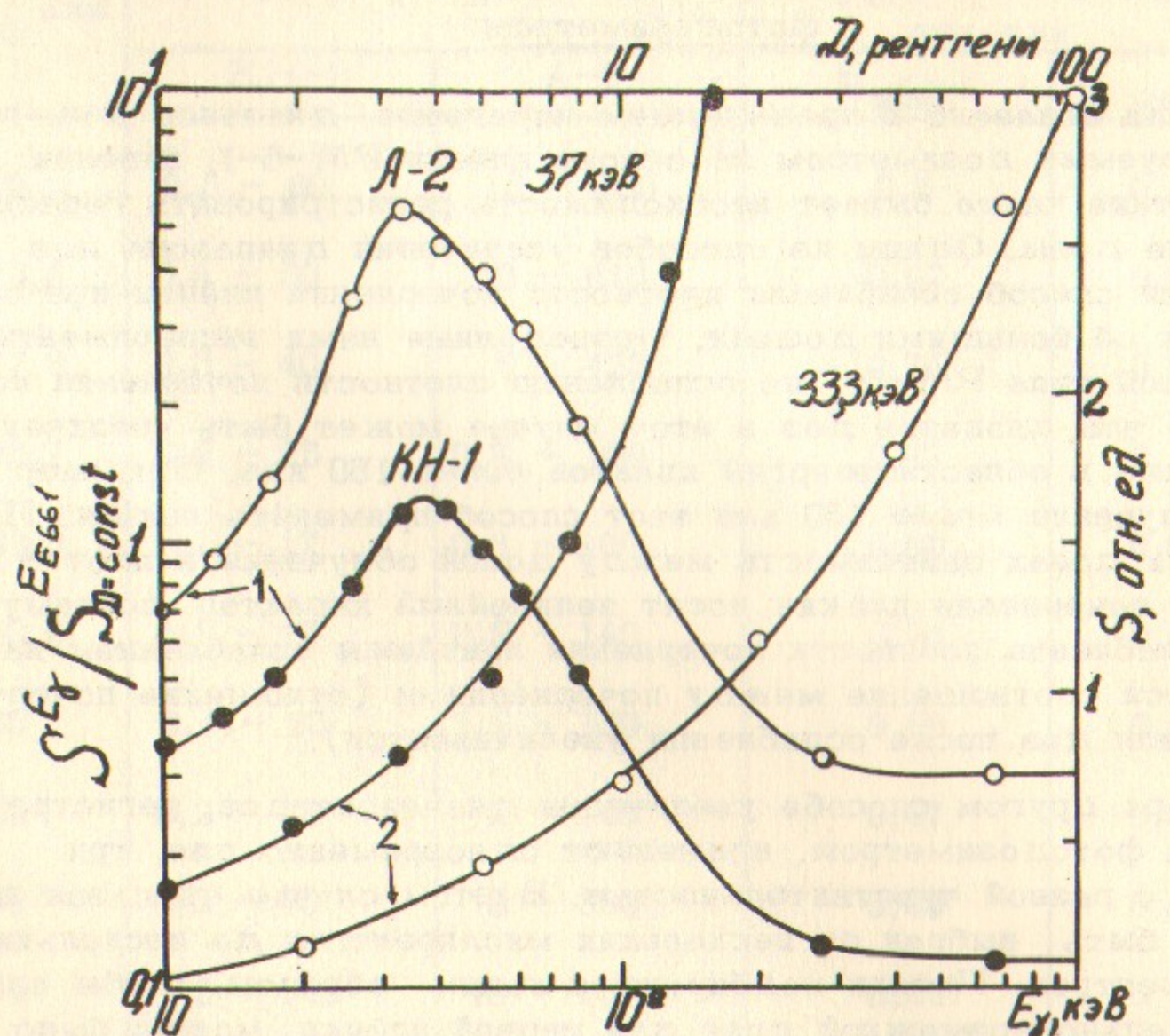


Рис.7. 1 - зависимость плотности почернения плёнки типа А-2 (дубль-негативная) и типа КН-1 от энергии квантового излучения при постоянной дозе. (Ось ординат - левая; ось абсцисс - нижняя). 2 - зависимость плотности почернения плёнок типа А-2 (дубль-негативная) и типа КН-1 от дозы рентгеновского излучения (ось ординат - правая; ось абсцисс - верхняя).

рентгеновской установке и гамма-излучением радиоактивных источников. Дозы облучения рентгеновского излучения измерялись нормальной камерой, а от излучения изотопов находились расчётным путем. В результате этих экспериментов был найден ход с жесткостью плёнок (рис.7) и установлена зависимость плотности почернения от величины дозы. Диапазоны доз рентгеновского и гамма-излучений, регистрируемых плёнками типа КН-1 и А-2 даны в табл.3.

Методика проведения дозиметрического контроля фотодозиметром довольно проста. Персоналу выдается фотодозиметр, заряженный тремя плёнками. Плёнка типа РМ-5-1 в стандартной упаковке ложится сверху (к окну), а плёнки типа КН-1 и А-2 совместно в такой же упаковке - снизу. Раз в месяц плёнка типа РМ-5-1 сдаётся в обработку и если окажется, что определить дозу из-за большого почернения плёнки нельзя, то обрабатывают плёнки типа КН-1 и А-2 и по ним определяют дозу облучения. Плёнки типа КН-1 и А-2 носят в течение года, а затем заменяют на новые. Процессы обработки плёнок типа КН-1 и А-2 и определение дозы такие же, как и для плёнки типа РМ-5-1. После нахождения дозы облучения по плёнкам типа КН-1 или А-2 необходимо вносить поправку в величину дозы, которая меньше истинной, так как излучение слабится плёнкой типа РМ-5-1. Поправки в виде коэффициентов пропускания (табл.3) для эффективной энергии излучения находились экспериментальным путем, а для моноэнергетического - расчётным.

Возможность определения годовой и аварийной дозы облучения представляет большой интерес для радиационной гигиены. Годовые данные дозиметрии позволяют объективно интерпретировать результаты профилактических медицинских осмотров, а знание эффективной энергии излучения и величины дозы, полученной в результате аварии или при нарушении правил работы в зоне ионизирующего излучения, дают возможность провести необходимый комплекс медицинских мероприятий.

В результате проведенных исследований приходим к выводу, что применение фотографического метода в дозиметрии рентгеновского излучения с энергией квантов менее 50 кэв возможно с достаточной для практики точностью. Кроме того, предложенная методика даёт возможность расширить энергетический диапазон применимости метода до энергии квантов 1250 кэв. В фотодози-

метре применены широко распространенные отечественные пленки и медные фильтры стандартной толщины, чем достигается простота изготовления и применения дозиметра на практике. Достаточно большой диапазон доз, регистрируемых фотодозиметром, в сочетании с автоматической обработкой результатов измерений позволяют надеяться, что предложенная методика найдет широкое применение в научных исследованиях, медицине и других областях народного хозяйства при измерениях доз рентгеновского и гамма-излучений.

Л и т е р а т у р а

1. Д.Грининг. В сб."Фотографическая регистрация ионизирующих излучений. ИЛ, М., (1953), стр.28-45.
2. Б.Прайс и др. Защита от ядерных излучений. ИЛ, М.,(1959), стр.54.
3. С.В.Стародубцев, А.М.Романов. Взаимодействие гамма-излучения с веществом. Часть 1. Изд."Наука", Узбесской ССР, Ташкент (1964).
4. В.Ф.Коэлов. Фотографическая дозиметрия ионизирующих излучений. Атомиздат, М., (1964).
5. К.К.Аглиницев. Дозиметрия ионизирующих излучений. Госатомиздат, М., (1957).
6. Р.В.Ставицкий и др. "Атомная энергия", том 29, вып.5(1970), стр.366.
7. Ю.А.Казанский и др. Физические исследования защиты реакторов. Атомиздат, М., (1966).
8. Р.В.Ставицкий, Э.А.Ярковой. "Медицинская радиология", № 2, (1971), стр.61-66.
9. А.Н.Зайдель. Элементарные оценки ошибок измерений. Изд. "Наука", Л., (1967).
10. Д.Худсон. Статистика для физиков. Изд."Мир", перевод с английского. М., (1967).
11. В.С.Григорьев, Г.М.Протопопова "Фотографическая дозиметрия рентгеновского излучения". Материалы 5-й Научно-практической конференции по радиационной гигиене, Л., 1967 г., стр.46-47.

затрачиваются на то, что в результате работы машины в зоне фокуса стационарной линзы, чем достигается высокая производительность машины. Использование большого диаметра (диаметр линзы 1000 мм) позволяет уменьшить время обработки с автоматической обработкой различных изображений. Установка линзы в зоне фокуса позволяет уменьшить время обработки изображений в различных аспирационных, магнитных и динамических изображениях. Модельная машина ЦМД-1000 имеет широкое применение в научных исследованиях, медицине и промышленности.

(1991) тираж 1

— в компьютерных системах, используемых Ф. А. Ф. Ф. (1991) „М. телемота, ядерные

— со Л. А. Януковская компьютерных систем Д. А. Абрамян А. К. И. В. (1991) „М. телемота

(1991) Б. Ким, В. С. мот., "акции якимота", цк и Януковский С. В. Я. В. .888.дтс

— в инженерных изображениях Ф. А. Ф. Ф. (1991) „М. телемота, ядерные

— в . "автоматизированном якимота" М. А. Я. Я. Я. (1991) „М. телемота, ядерные

, п. Н. Януковская ходило наездо якимота С. А. Я. Я. (1991) „Л. "акимота"

— в космосе „акимота" п. Н. Я. Я. Я. (1991) „М. стеклянные

— в космосе „акимота" п. Н. Я. Я. Я. (1991) „М. стеклянные

— в космосе „акимота" п. Н. Я. Я. Я. (1991) „М. стеклянные

— в космосе „акимота" п. Н. Я. Я. Я. (1991) „М. стеклянные

Ответственный за выпуск Протопопова Г.М.

Подписано к печати 16.6.77 МН 02682

Усл. 17 печ.л., тираж 150 экз. Бесплатно.

Заказ № 27 , ПРЕПРИНТ

Отпечатано на ротапринте в ИЯФ СО АН СССР, нв.